

COMISIÓN INTERAMERICANA DEL ATÚN TROPICAL

COMITÉ CIENTÍFICO ASESOR

12ª REUNIÓN

(Por videoconferencia)

10-14 de mayo de 2021

DOCUMENTO SAC-12-05

INDICADORES DE CONDICIÓN DE POBLACIÓN (SSI) PARA LOS ATUNES
TROPICALES EN EL OCÉANO PACÍFICO ORIENTAL

ÍNDICE

Resumen	1
1. Antecedentes.....	2
2. Resultados y discusión.....	3

RESUMEN

Se presentan indicadores de condición de población (SSI, de *stock status indicators*; series de tiempo de datos usadas para complementar las evaluaciones de poblaciones, o en ausencia de ellas), basados en datos de palangre y de cerco, para las tres especies de atunes tropicales (aleta amarilla, patudo y barrilete). Se han revisado los métodos usados en informes previos de la CIAT para calcular los SSI, basados en datos de cerco únicamente, a fin de mitigar el posible sesgo introducido en la asignación del esfuerzo de pesca entre los tipos de lances cerqueros. Los nuevos SSI: (a) incluyen medidas de captura, esfuerzo, CPUE y talla promedio de los peces en la captura retenida; (b) comienzan en 2000, el primer año de muestreo de composición por especie para la pesquería cerquera y poco después de la gran expansión en alta mar de la pesquería sobre objetos flotantes alrededor de principios a mediados de la década de 1990; y (c) tienen niveles de referencia fijados en los percentiles de 10% y 90%. La mayoría de los SSI basados en la pesquería sobre objetos flotantes sugiere que la mortalidad por pesca de las tres especies ha aumentado, debido principalmente al aumento del número de lances sobre objetos flotantes. La pandemia de COVID-19 ha afectado a la pesquería, y de la misma forma a los SSI en 2020, debido a la reducción del número de lances en la pesquería sobre objetos flotantes y, por lo tanto, este año debe utilizarse con precaución al interpretar las tendencias a largo plazo. La tendencia constantemente creciente del número de lances en la pesquería sobre objetos flotantes desde 2005 se refleja en el aumento de capturas, en la reducción de la captura por lance, y la talla promedio de las tres especies en la pesquería sobre objetos flotantes. Sin embargo, las tendencias de algunos otros SSI no apoyan la interpretación de que la mortalidad por pesca haya aumentado como resultado de un incremento en el número de lances sobre objetos flotantes. Es difícil identificar las causas de las diferencias entre SSI, incluso cuando los SSI se consideran en grupo. No obstante, la mayoría de los SSI basados en la pesquería sobre objetos flotantes son consistentes con un aumento de la mortalidad por pesca en esa pesquería y la talla promedio del patudo y el barrilete se encuentran en niveles históricamente bajos en 2020, lo que significa que se deben considerar medidas de ordenación precautorias para evitar mayores aumentos de la mortalidad por pesca. Esto está respaldado también por una relación positiva entre el número de lances y la mortalidad por pesca estimada en la evaluación del patudo (FAD-05 INF-D).

1. ANTECEDENTES

Uno de los objetivos de ordenación para los atunes tropicales en el Océano Pacífico oriental (OPO) establecidos en la Convención de Antigua es mantener las poblaciones en niveles de abundancia capaces de producir el rendimiento máximo sostenible (RMS). Se usan objetivos de ordenación basados en RMS o puntos de referencia relacionados (por ejemplo, mortalidad por pesca que produce RMS (F_{RMS}); sustitutos de reproductor por recluta) para muchas especies y poblaciones en todo el mundo. Sin embargo, estos objetivos requieren la estimación de los puntos de referencia y las cantidades con las que se puedan comparar. Los distintos puntos de referencia basados en modelos precisan diferentes cantidades y tipos de información, desde información biológica (por ejemplo, mortalidad natural, crecimiento, relación población-reclutamiento) y características de las pesquerías (por ejemplo, selectividad por edad) hasta estimaciones de biomasa absoluta y tasas de explotación, que a su vez requieren generalmente una evaluación formal. Para muchas especies y poblaciones, la información necesaria para realizar esa evaluación no está disponible, las evaluaciones no son fiables, o no pueden realizarse con la frecuencia que la ordenación pueda requerir y, por lo tanto, son necesarios métodos alternativos.

Una alternativa es computar indicadores de condición de población (SSI), que son simplemente series de tiempo de datos sin procesar o ligeramente procesados para una población que pueden reflejar tendencias de la abundancia o explotación de esa población. Los SSI incluyen cantidades tales como esfuerzo de pesca, captura, CPUE o la talla de los peces en la captura. Los SSI no pueden usarse directamente para una ordenación que dependa de cantidades basadas en modelos (por ejemplo, RMS, F_{RMS}), pero pueden usarse para hacer comparaciones históricas y para identificar tendencias, y pueden proporcionar información que podría ser útil para la ordenación de una población. También pueden usarse en estrategias de ordenación que no dependen de reglas de control de extracción (RCE) basadas en modelos, como estrategias que usan reglas de control de extracción (RCE) empíricas (basadas en datos) cuyo rendimiento puede evaluarse formalmente mediante una evaluación de estrategias de ordenación (EEO).

Los SSI fueron inicialmente desarrollados para el barrilete porque las evaluaciones tradicionales de esa especie no se consideraban fiables (por ejemplo, Maunder y Deriso 2007), pero también se han usado recientemente como un componente complementario del asesoramiento de ordenación del personal para los atunes aleta amarilla y patudo en el OPO. Desde 2018, los SSI se han vuelto particularmente importantes como información complementaria, o remplazo transitorio, de las evaluaciones formales tanto del patudo (por ejemplo, [SAC-09-16](#)) como del aleta amarilla ([SAC-10-08](#)), pues el personal consideró que los resultados de las evaluaciones en ese momento no eran lo suficientemente fiables como para utilizarlos como base para su asesoramiento de ordenación.

El personal ha completado el [plan de trabajo para mejorar las evaluaciones de los atunes tropicales](#), y las evaluaciones del patudo ([SAC-11-06](#)) y del aleta amarilla ([SAC-11-07](#)), que ahora están incluidas en un marco basado en riesgos ([SAC-11 INF-F](#)), fueron consideradas suficientemente fiables para usarse como base para proporcionar asesoramiento de ordenación ([IATTC-95-01](#)). El nuevo marco de evaluación basado en riesgos se aplicará antes del comienzo de un ciclo de ordenación plurianual. Se seguirán reportando dos conjuntos de SSI, uno basado en datos de la pesquería cerquera y otro en datos de la pesquería palangrera, como información complementaria para hacer el seguimiento a las poblaciones entre evaluaciones dentro del ciclo de ordenación, y para proporcionar asesoramiento de ordenación. Se computaron los mismos SSI para las tres especies, en la medida de lo posible, y se recopilaron en el presente informe para facilitar las comparaciones entre las especies.

Los **SSI basados en la pesquería de cerco** reportados por tipo de lance (NOA: no asociado; DEL: asociado a delfines; OBJ: asociado a objetos flotantes), siempre que sea posible, son los siguientes: **número de lances, por tipo de lance** ([Figura 1](#)); **capacidad ajustada por la veda** ([Figura 1](#)); **captura por tipo de lance** ([Figura 2](#)); **captura por lance, por tipo de lance** ([Figura 3](#)); y **talla promedio de los peces en la captura**

retenida, por tipo de lance ([Figura 4](#)). Se desarrolló un SSI adicional para el aleta amarilla basado en el modelado espaciotemporal de la **captura por día de pesca (CPDP)** para la pesquería asociada con delfines ([Figura 5](#)), que es superior a los SSI de CPDP usados previamente. La captura por lance por tipo de lance reemplaza los SSI de CPDP usados previamente, que no son considerados fiables debido a posibles sesgos en el método usado para asignar los días de pesca a los tipos de lance; además, los indicadores basados en modelos usados para el barrilete ya no se reportan porque se basaban en los mismos datos de CPDP. Los SSI actuales comienzan en 2000 porque el programa de muestreo en puerto de la CIAT comenzó el muestreo de composición por especies en ese año, y es después de la gran expansión en alta mar de la pesquería sobre objetos flotantes, que comenzó entre principios a mediados de la década de 1990. La escala de todos los SSI está ajustada (indicadores relativos) de tal manera que su promedio sea igual a 1 durante el periodo de 2000-2020. Los niveles de referencia fueron cambiados de los percentiles de 5% y 95% a los de 10% y 90% pues los percentiles extremos son menos fiables con menos años de datos.

También se han desarrollado varios indicadores que usan datos de la **pesquería palangrera**. Estos incluyen **captura y esfuerzo** ([Figura 6](#)), y **CPUE** (captura por anzuelo) y **talla promedio** de los peces de un modelo espaciotemporal ([Figura 7](#)). A fin de ser consistentes con los SSI de cerco, los SSI de palangre comienzan en 2000 y su escala ha sido ajustada de tal manera que su promedio sea igual a 1 durante el periodo de 2000-2020. Los niveles de referencia también están basados en los percentiles de 10% y 90%.

Se puede encontrar más información sobre el patudo y el aleta amarilla en los documentos [SAC-11-06](#) y [SAC-11-07](#), respectivamente, e información sobre la captura absoluta y el número de lances, por tipo de lance, en el documento [SAC-12-03](#).

2. RESULTADOS Y DISCUSIÓN

Muchos de los SSI de los últimos años están cerca de sus niveles de referencia de 10% y 90%, siendo 2020 una excepción en la que el número de lances en la pesquería sobre objetos flotantes se redujo sustancialmente ([Figura 1](#)). Este descenso del 25% en el número total de lances sobre objetos flotantes de 2019 a 2020 es probablemente atribuible al efecto de la pandemia de COVID-19 en las operaciones de pesca. Exceder un nivel de referencia puede tener múltiples interpretaciones, y éstas dependerán del SSI que se esté considerando y de si se ha superado el nivel de referencia superior o inferior. Para interpretar las tendencias de los SSI, puede ser útil tomar en cuenta múltiples SSI simultáneamente.

La mayoría de los SSI de la pesquería sobre objetos flotantes sugiere que las poblaciones de las tres especies han estado potencialmente sujetas a una mortalidad por pesca mayor, debido principalmente al aumento del número de lances en la pesquería sobre objetos flotantes (ver FAD-05 INF-D para detalles sobre la relación entre el número de lances sobre objetos flotantes y F para el patudo). La tendencia al aumento constante del número de lances sobre objetos flotantes observada desde 2005, con la excepción de 2020, es motivo de especial preocupación ([Figura 1](#)). Esto se refleja en un aumento de la captura de aleta amarilla y barrilete, particularmente en número, junto con un aumento de la captura de patudo, en número, en los lances sobre objetos flotantes ([Figura 2](#)). También se refleja como una disminución de la captura por lance ([Figura 3](#)) y de la talla promedio de los peces en la captura ([Figura 4](#)) de las tres especies en la pesquería sobre objetos flotantes. La interpretación del aumento de la mortalidad por pesca está apoyada por las tendencias de la talla promedio del patudo y barrilete capturados en los otros tipos de lance, y por la tendencia del índice de CPUE palangrera del aleta amarilla basado en modelado espaciotemporal ([Figura 7](#)). Los diferentes patrones observados en 2020 se deben probablemente a la pandemia de COVID-19, y por lo tanto no pueden interpretarse en el contexto de las tendencias a largo plazo. Por ejemplo, la captura por lance de patudo y barrilete aumentó en 2020, pero esto puede deberse a la mayor reducción del número de lances realizados por los buques de clases 1-5 de la CIAT, que tienen una menor captura por lance, en comparación con el número de lances realizados por los buques de clase 6 de la CIAT (ver la [Tabla 7 del documento SAC-12-03](#)). La talla promedio de los peces en la captura retenida puede estar

menos influenciada por los cambios sin precedentes en las operaciones de pesca debido al COVID-19, y en 2020 se encuentra en niveles históricamente bajos en el caso del patudo y el barrilete en la pesquería sobre objetos flotantes ([Figura 4](#)).

Por otra parte, las tendencias de algunos de los otros SSI no apoyan necesariamente la interpretación de que el incremento de la mortalidad por pesca esté ocurriendo como resultado de un aumento del número de lances sobre objetos flotantes. En particular, las tendencias de la captura por lance para otros tipos de lance ([Figura 3](#)), la talla promedio del aleta amarilla en los otros tipos de lance ([Figura 4](#)), y los SSI de palangre ([Figuras 6-7](#)), excepto la CPUE del aleta amarilla, no son consistentes con esa interpretación. El indicador basado en el modelado espaciotemporal de la CPDP para la pesquería cerquera de aleta amarilla asociado a delfines ([Figura 5](#)) muestra un periodo reciente de CPUE baja, comenzando en 2015, que coincide con un periodo de aumento de las capturas de aleta amarilla en lances sobre objetos flotantes ([Figura 2](#)).

Es difícil identificar las causas de las diferencias entre SSI, incluso cuando los SSI se consideran en grupo. Las inconsistencias entre los SSI de aleta amarilla podrían deberse a una interacción entre la estructura potencial de la población y diferencias en la distribución espacial del esfuerzo en los distintos tipos de lance y artes (ver [Fig. B-4 de IATTC-95-05](#)). Además, la captura por lance podría no ser un indicador fiable de la abundancia relativa, particularmente para la especie objetivo (es decir, barrilete en la pesquería sobre objetos flotantes y aleta amarilla en la pesquería sobre delfines). No obstante, el hecho de que la mayoría de los SSI basados en la pesquería sobre objetos flotantes sean consistentes con un aumento de la mortalidad por pesca en esa pesquería, y que la talla promedio del patudo y el barrilete en la captura de esa pesquería está en niveles históricamente bajos en 2020 y en los niveles de referencia inferiores o muy cerca de ellos, significa que se deben considerar medidas de ordenación precautorias para evitar mayores aumentos.

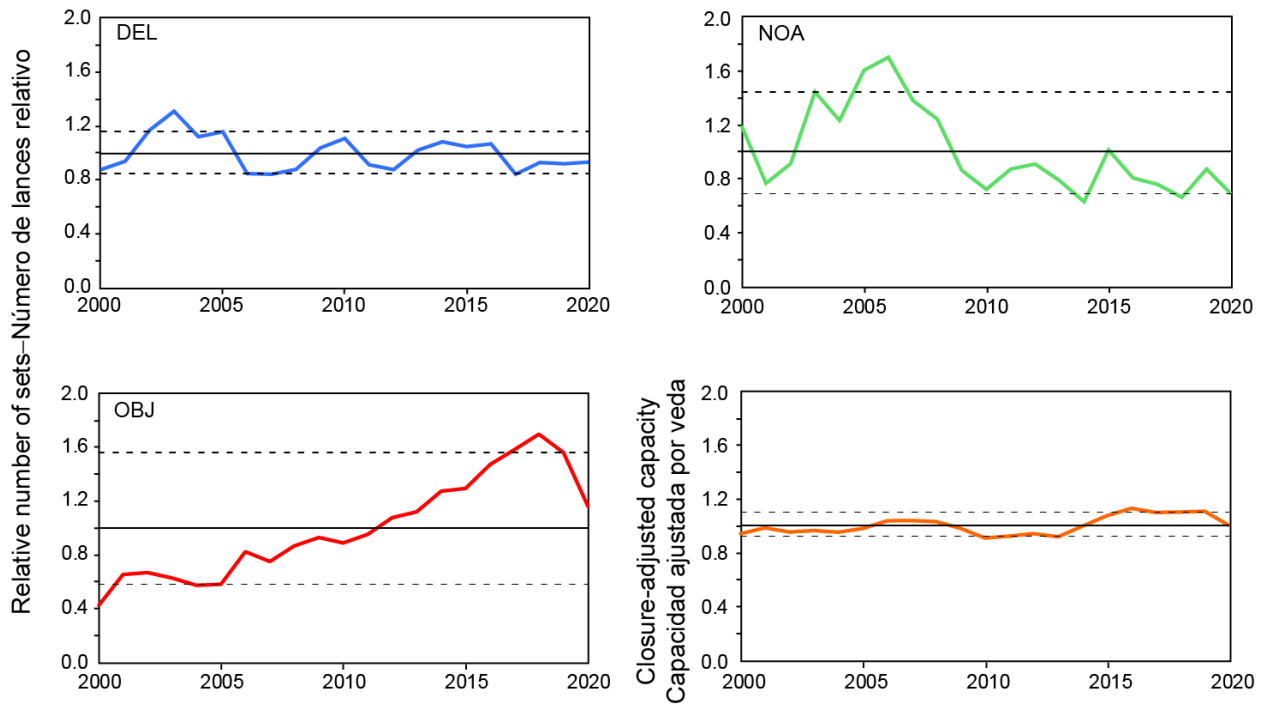


FIGURE 1. Indicators based on purse-seine fishing effort, 2000-2020.

FIGURA 1. Indicadores basados en el esfuerzo de pesca de cerco, 2000-2020.

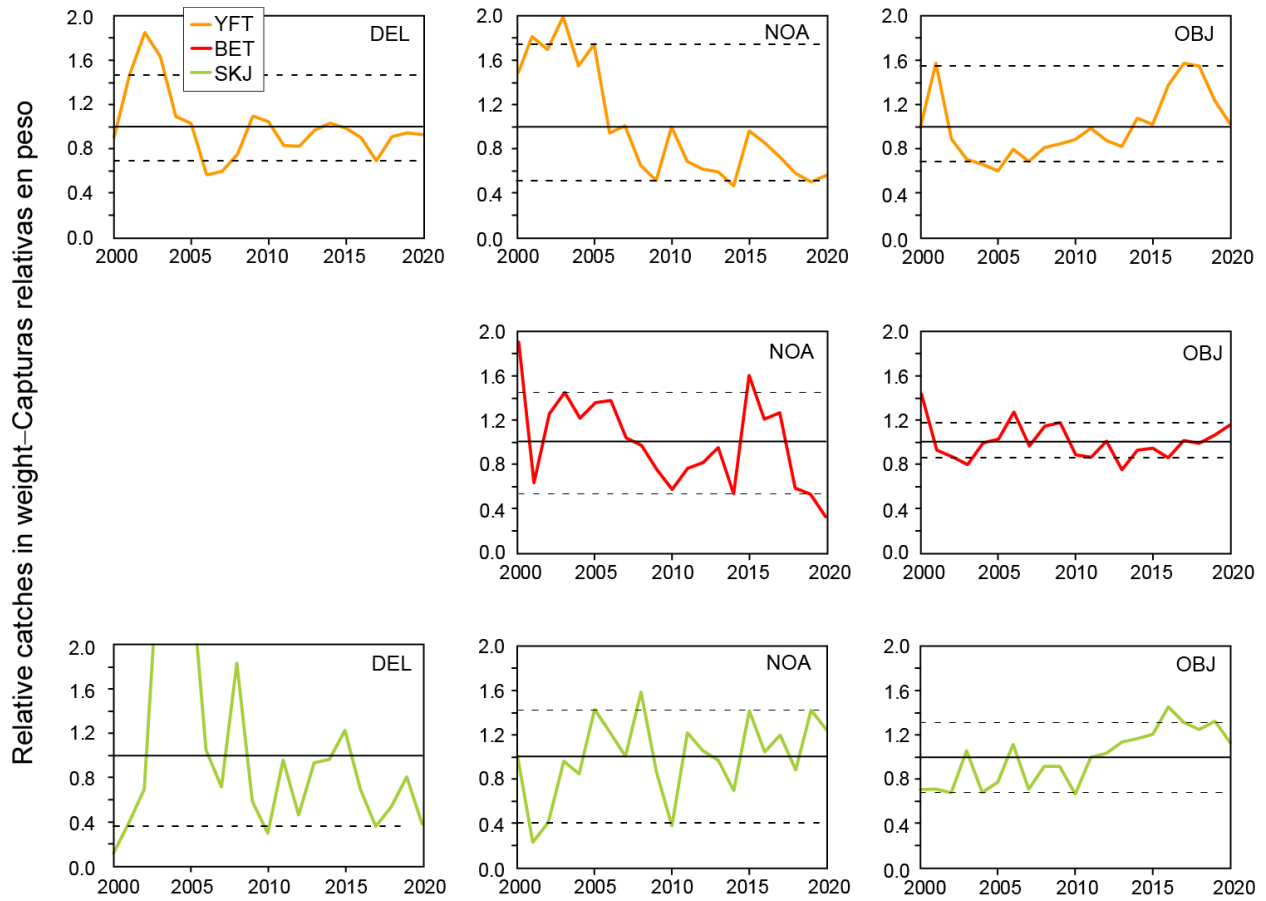


FIGURE 2a. Indicators based on purse-seine catch in weight, 2000-2020.

FIGURA 2a. Indicadores basados en la captura cerquera en peso, 2000-2020.

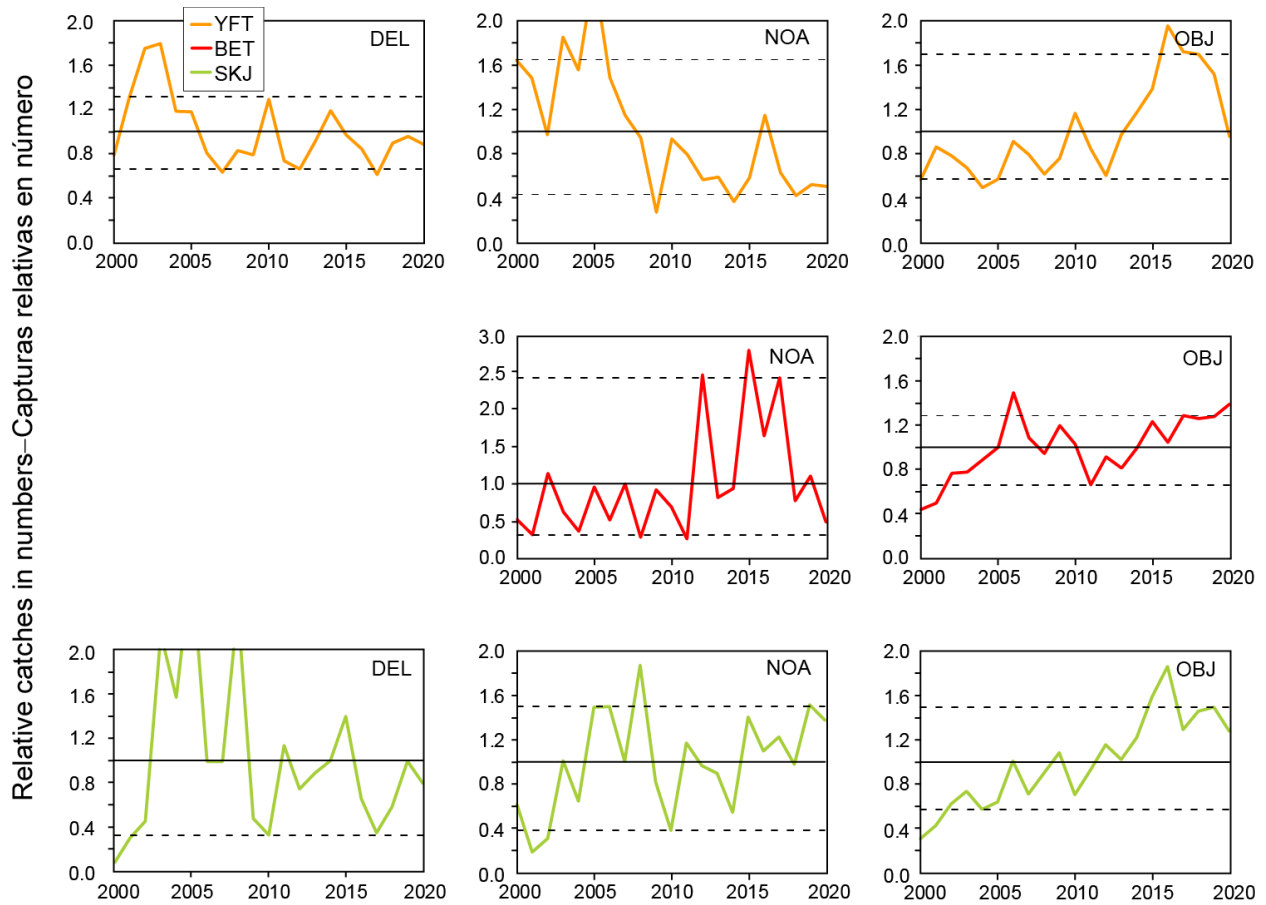


FIGURE 2b. Indicators based on purse-seine catch in number, 2000-2020.

FIGURA 2b. Indicadores basados en la captura cerquera en número, 2000-2020.

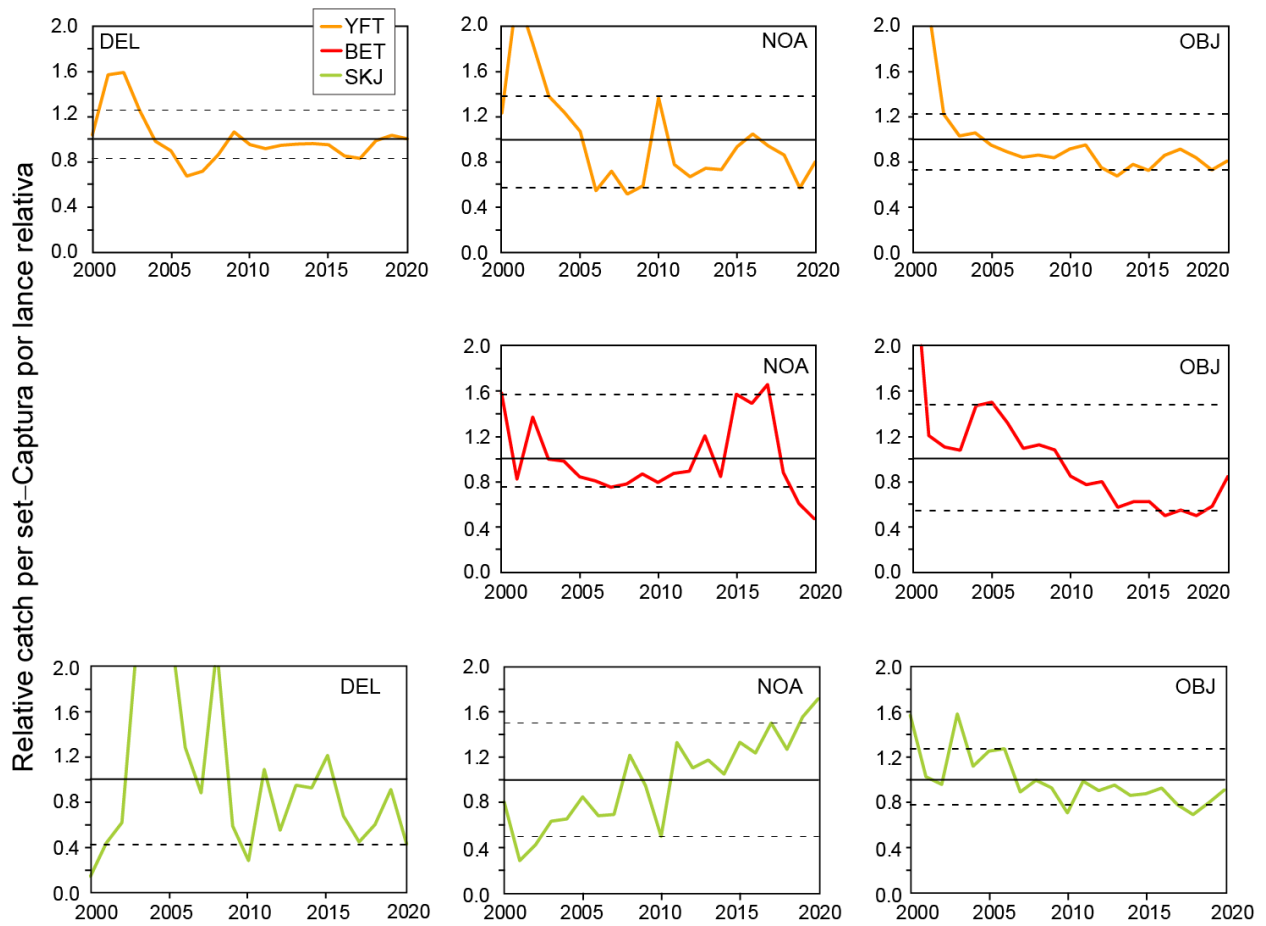


FIGURE 3. Indicators based on purse-seine catch-per-set, 2000-2020.

FIGURA 3. Indicadores basados en captura por lance cerquero, 2000-2020.

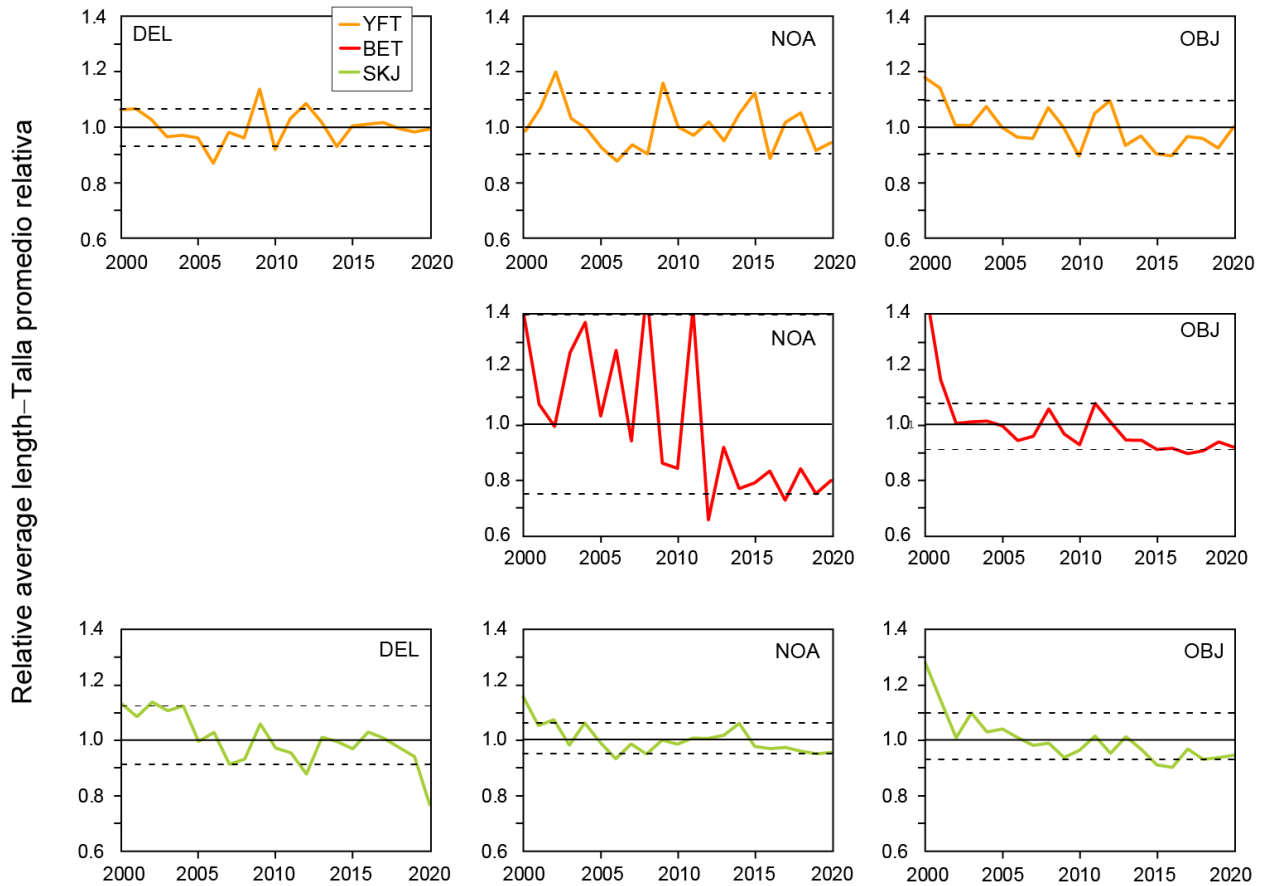


FIGURE 4. Indicators based on average length of fish in the purse-seine catch, 2000-2020. The y-axis limits differ from the figures for the other indicators to accentuate the changes because average length is less sensitive to fishing mortality.

FIGURA 4. Indicadores basados en la talla promedio del pescado en la captura cerquera, 2000-2020. Los límites del eje y difieren de las figuras de los otros indicadores para acentuar los cambios ya que la talla promedio es menos sensible a la mortalidad por pesca.

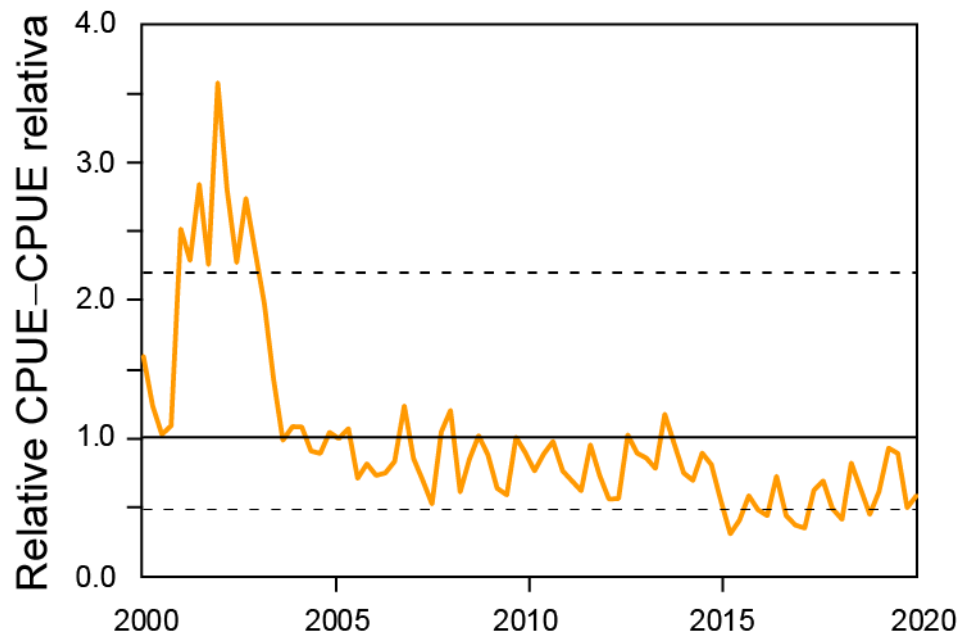


FIGURE 5. Indicator based on spatio-temporal modelling of catch-per-day-fished for the purse-seine fishery on yellowfin associated with dolphins, 2000-2020.

FIGURA 5. Indicador basado en el modelado espaciotemporal de la captura por día de pesca para la pesquería cerquera de aleta amarilla asociado a delfines, 2000-2020.

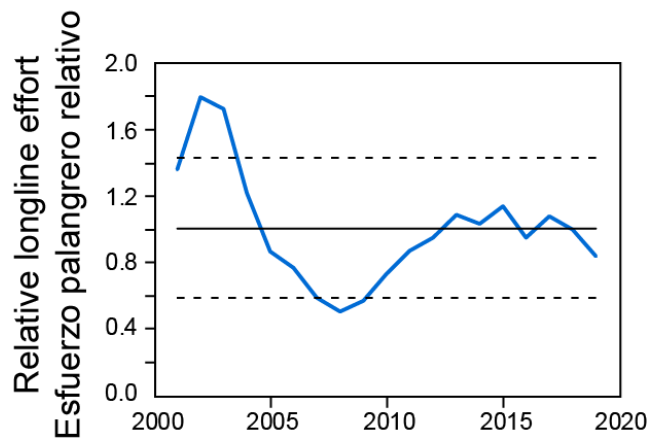
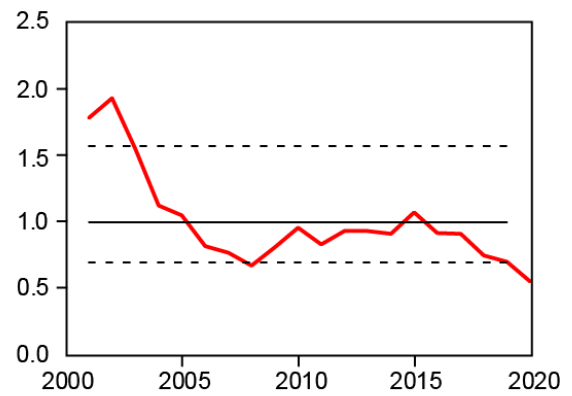
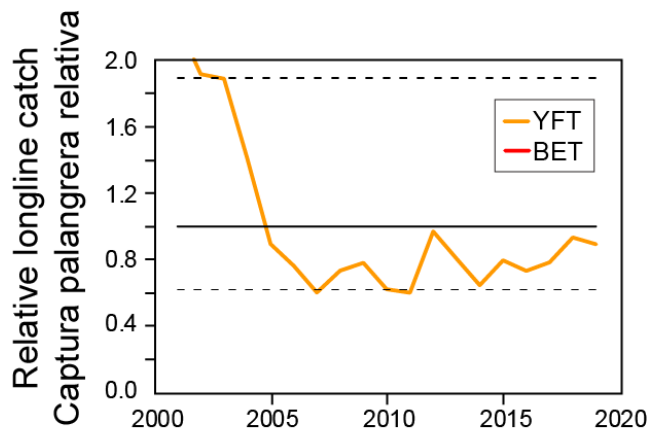


FIGURE 6. Indicators based on longline catch and effort data, 2001-2020 (data for 2020 only included for BET, from the monthly reports, and the values for 2006 are uncertain due to possible unreported catch and effort for those years).

FIGURA 6. Indicadores basados en datos de captura y esfuerzo de palangre, 2001-2020 (los datos de 2020 solo se incluyen para BET, de los informes mensuales, y los valores de 2006 son inciertos debido a posible captura y esfuerzo no reportados para esos años).

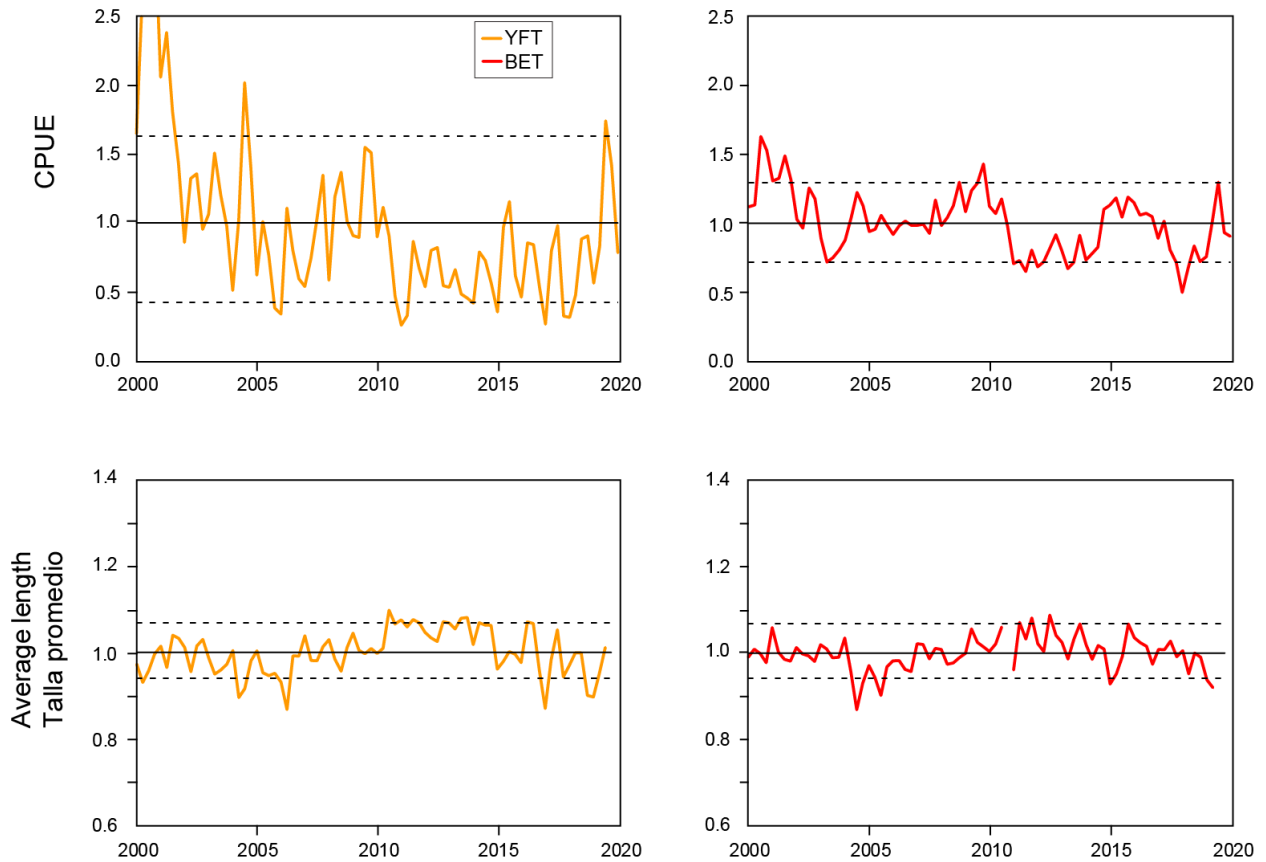


FIGURE 7. Indicators based on spatio-temporal modelling of longline data, 2000-2020. The y-axis limits for average length differ from the figures for the other indicators to accentuate the changes because average length is less sensitive to fishing mortality.

FIGURA 7. Indicadores basados en el modelado espaciotemporal de datos de palangre, 2000-2020. Los límites del eje y para la talla promedio difieren de las figuras de los otros indicadores para acentuar los cambios ya que la talla promedio es menos sensible a la mortalidad por pesca.